

Efeitos da emissividade de neutrinos no resfriamento de estrelas de nêutrons na presença de um forte campo magnético

¹Eduardo L. Coelho, ¹Marcelo Chiapparini, ¹Mirian E. Bracco and ²Rodrigo P. Negreiros

¹Universidade do Estado do Rio de Janeiro (UERJ)

²Universidade Federal Fluminense (UFF-RJ)

XXV Reunião de Trabalho sobre Interações Hadrônicas
UNICAMP, Campinas - SP - 06/02/2014

Introdução

- Estudo dos efeitos do campo magnético no interior das estrelas de nêutrons (calor específico, condutividade térmica, emissividade);
- Teoria de campo médio relativístico da matéria nuclear;
- Resfriamento de estrelas de nêutrons por emissão de neutrinos - Processo Urca Direto

Teoria de campo médio relativístico da matéria nuclear (Modelo de Walecka)

A Lagrangiana que descreve este modelo é (Glendenning, 1997)

$$\begin{aligned}\mathcal{L} = & \sum_b \bar{\psi}_b [i\gamma_\mu D^\mu - m_b + g_{\sigma b}\sigma - g_{\omega b}\gamma_\mu \omega^\mu \\ & - \frac{1}{2}g_{\rho b}\gamma_\mu \tau \cdot \rho^\mu] \psi_b + \frac{1}{2}\partial_\mu \sigma \partial^\mu \sigma - \frac{1}{2}m_\sigma^2 \sigma^2 - U(\sigma) \\ & - \frac{1}{4}\omega_{\mu\nu}\omega^{\mu\nu} + \frac{1}{2}m_\omega^2 \omega_\mu \omega^\mu - \frac{1}{4}\rho_{\mu\nu} \cdot \rho^{\mu\nu} + \frac{1}{2}m_\rho^2 \rho_\mu \cdot \rho^\mu \\ & + \sum_{l=e^-, \mu^-} \bar{\psi}_l [i\gamma_\mu (\partial^\mu + iq_l A^\mu) - m_l] \psi_l - \frac{1}{4}F_{\mu\nu}F^{\mu\nu},\end{aligned}$$

onde $D^\mu = \partial^\mu + iq_b A^\mu$ e $\vec{B} = B\hat{k}$, $A^0 = 0$, $\vec{A} \equiv (0, xB, 0)$;
 $U(\sigma) = \frac{1}{3}bm_n(g_{\sigma n}\sigma)^3 + \frac{1}{4}c(g_{\sigma n}\sigma)^4$; $\omega_{\mu\nu} = \partial_\mu \omega_\nu - \partial_\nu \omega_\mu$,
 $\rho_{\mu\nu} = \partial_\mu \rho_\nu - \partial_\nu \rho_\mu$, $F_{\mu\nu} = \partial_\mu A_\nu - \partial_\nu A_\mu$

Equações de movimento

A equação de Euler-Lagrange é dada por

$$\frac{\partial \mathcal{L}}{\partial \phi(x)} - \partial_\mu \frac{\partial \mathcal{L}}{\partial (\partial_\mu \phi)} = 0,$$

onde $\phi(x)$ é o campo. Então para a Lagrangeana acima, as equações de movimento são (Chakrabarty et al. 1997)

$$\begin{aligned} \sum_b \gamma_\mu (iD^\mu - g_{\omega b} \omega^\mu) - (m_b - g_{\sigma b} \sigma) \psi_b &= 0, \\ (\partial_\mu \partial^\mu + m_{\sigma n}^2) \sigma(x) + b m_n g_{\sigma n}^3 \sigma^2(x) + c g_{\sigma n}^4 \sigma^3(x) &= \sum_b \bar{\psi}_b g_{\sigma b} \psi_b, \\ (\partial_\mu \partial^\mu + m_{\omega n}^2) \omega(x) - \partial_\nu \partial^\nu \omega_\nu &= \sum_b g_{\omega b} \bar{\psi}_b \gamma^\mu \psi_b, \\ \sum_l (i\gamma_\mu (\partial^\mu + iq_l A^\mu) - m_l) \psi_l &= 0 \end{aligned}$$

Aproximação de campo médio

As equações de movimento na aproximação de campo médio são

$$g_{\omega n} \omega_0 = \left(\frac{g_{\omega n}}{m_\omega} \right)^2 \sum_b \chi_{\omega b} \rho_b,$$

$$g_{\rho n} \rho_{03} = \left(\frac{g_{\rho n}}{m_\rho} \right)^2 \sum_b \chi_{\rho b} I_{3b} \rho_b,$$

$$m_n^* = m_n + \left(\frac{g_{\sigma n}}{m_{\sigma n}} \right)^2 [b m_n (m_n - m_n^*)^2 + c (m_n - m_n^*)^3 - \sum_b \chi_{\sigma b} n_s],$$

onde ω_0 , ρ_{03} são os campos médios do méson ω e méson ρ ;
 $m_n^* = m_n - \chi_{\sigma b} g_{\sigma n} \sigma$ e $\chi_{\sigma b} = \frac{g_{\sigma b}}{g_{\sigma n}}$, $\chi_{\omega b} = \frac{g_{\omega b}}{g_{\omega n}}$, $\chi_{\rho b} = \frac{g_{\rho b}}{g_{\rho n}}$.

Potencial químico efetivo e equilíbrio β

O potencial químico efetivo dos bárions é dado por

$$\mu_b^* = \mu_b - \chi_{\omega b} g_{\omega n} \omega_0 - \chi_{\rho b} g_{\rho n} \rho_0$$

Na condição de equilíbrio β temos

$$\begin{aligned}\mu_b &= \mu_n - q_b \mu_{e^-}, \\ \mu_{e^-} &= \mu_{\mu^-},\end{aligned}$$

onde μ_n , μ_{e^-} e μ_{μ^-} são os potenciais químicos do nêutron, elétron e múon, respectivamente.

Momento de Fermi e $v_{\max}(b)$

O momento de Fermi dos bárions carregados é

$$k_{b,v_b}^2 = u_b^{*2} + m_b^{*2} - 2v_b|q_b|B.$$

O limite superior $v_{\max}(b)$ é definido pela condição $k_{b,v_b}^2 \geq 0$, então

$$v_{\max}(b) = \text{int} \left[\frac{\mu_b^{*2} - m_b^{*2}}{2|q_b|B} \right].$$

Analogamente para os léptons

$$k_{l,v_l}^2 = \mu_l^2 + m_l^2 - 2v_l|q_l|B,$$

$$v_{\max}(l) = \text{int} \left[\frac{\mu_l^2 - m_l^2}{2|q_l|B} \right].$$

Densidade Escalar

A densidade escalar é dada por

$$n_s = n_s^{q=0} + n_s^{q \neq 0},$$

$$n_s^{q=0} = \frac{m_b^*}{2\pi^2} \left[\mu_b^* k_b - m_b^{*2} \ln \left(\frac{\mu_b^* + k_b}{m_b^*} \right) \right],$$

$$n_s^{q \neq 0} = \frac{m_b^* |q_b| B}{2\pi^2} \sum_{v=0}^{v_{\max}(b)} g_v \ln \left[\frac{\mu_b^* + k_{b,v}}{(m_b^{*2} + 2v_b |q_b| B)^{1/2}} \right],$$

onde q_b é a carga do bárion b , μ_b^* é o potencial químico efetivo, k_b e $k_{b,v}$ são os momentos de Fermi dos bárions sem e com carga elétrica; $g_v = 1$ ($v = 0$) e $g_v = 2$ ($v > 0$) é a degenerescência de spin.

Densidade numérica e equações de conservação

A densidade bariônica é

$$\rho_b^{q=0} = \frac{k_b^3}{3\pi^2},$$
$$\rho_b^{q \neq 0} = \frac{|q_b| B}{2\pi^2} \sum_{v=0}^{v_{\max}(b)} g_v k_{b,v_b}$$

e a densidade dos léptons é dada por

$$\rho_l = \frac{|q_l| B}{2\pi^2} \sum_{v=0}^{v_{\max}(l)} g_v k_{l,v_l}.$$

As equações de conservação da quantidade de bárions e neutralidade de carga elétrica são

$$\rho = \sum_{b=1}^8 \rho_b, \quad \sum_{b=1}^8 |q_b| \rho_b + \sum_l |q_l| \rho_l = 0.$$

Densidade de energia da matéria

A densidade de energia da matéria é (Chakrabarty et al. 1997)

$$\begin{aligned}\varepsilon_m = & U(\sigma) + \frac{1}{2} \left(\frac{m_{\sigma n}}{g_{\sigma n}} \right)^2 (g_{\sigma n} \sigma)^2 \\ & + \frac{1}{2} \left(\frac{m_{\omega n}}{g_{\omega n}} \right)^2 (g_{\omega n} \omega_0)^2 + \frac{1}{2} \left(\frac{m_{\rho n}}{g_{\rho n}} \right)^2 (g_{\rho n} \rho_{03})^2 \\ & + \sum_{b(q=0)}^8 \frac{1}{8\pi^2} [2\mu_b^{*3} k_b - m_b^{*2} \mu_b^* k_b - m_b^{*4} \ln \left\{ \frac{\mu_b^* + k_b}{m_b^*} \right\}] \\ & + \frac{B}{4\pi^2} \sum_{b(q \neq 0)}^8 |q_b| \sum_{v_b=0}^{v_{\max}(b)} g_v [\mu_b^* k_{b,v_b} + m_{b,v_b}^{*2} \times \ln \left\{ \frac{\mu_b^* + k_{b,v_b}}{m_{b,v_b}^*} \right\}] \\ & + \frac{B}{4\pi^2} \sum_{l=e^-, \mu^-} |q_l| \sum_{v_l=0}^{v_{\max}(l)} g_v \left[\mu_l k_{l,v_l} + m_{l,v_l}^2 \ln \left\{ \frac{\mu_l + k_{l,v_l}}{m_{l,v_l}} \right\} \right],\end{aligned}$$

onde $m_{b,v_b}^2 = m_b^{*2} + 2v_b |q_b| B$, $m_{l,v_l}^2 = m_l^2 + 2v_l |q_l| B$.

Densidade de energia e pressão

A pressão da matéria é dada por

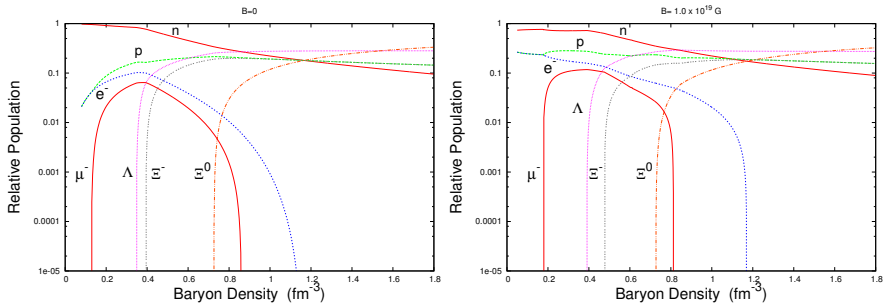
$$P_m = \mu_n \rho_b - \epsilon_m.$$

Considerando a componente do tensor de campo eletromagnético, a densidade de energia e pressão total do sistema é

$$\begin{aligned}\epsilon &= \epsilon_m + \frac{B^2}{2}, \\ P &= P_m + \frac{B^2}{2}.\end{aligned}$$

- O sistema de equações não lineares que descreve a matéria é resolvida numericamente por iteração;
- Método de Newton-Raphson com busca global da solução;
- cálculo numérico da população de cada espécie de partículas como função da densidade bariônica, densidade de energia e pressão;
- Constantes de acoplamento dado pelo modelo NR (Chiapparini et al. 2009)

População Relativa

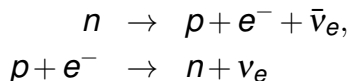


- Frações de partículas no equilíbrio β para $B = 0$ (figura esquerda) e $B = 1 \times 10^{19}$ G (figura direita).

Emissividade de neutrinos

Processo Urca Direto

- Processo Urca Direto



- $k_{Fn} \leq k_{Fp} + k_{Fe}$, $k_{F\alpha} = (3\pi^2 n_\alpha)^{1/3}$;
- O momento deve ser conservado na reação;
- Forte campo magnético aumenta a fração de próton

Emissividade de neutrinos

Processo Urca Direto

Na Teoria de Weinberg-Salam para interações fracas, a Lagrangeana de interação é dada por (Bandyopadhyay et al. 1998)

$$\mathcal{L}_{\text{weak}} = \frac{G_F}{\sqrt{2}} \cos \theta_c l_\mu j^\mu,$$

onde G_F é a constante de acoplamento fraca de Fermi, θ_c é o ângulo de Cabibbo e

$$\begin{aligned} l_\mu &= \bar{\psi}_4 \gamma_\mu (1 - \gamma_5) \psi_2, \\ j^\mu &= \bar{\psi}_3 \gamma^\mu (g_V - g_A \gamma_5) \psi_1, \end{aligned}$$

g_V and g_A são as constantes de acoplamento vetorial e axial-vetorial e os índices $i = 1 - 4$ referem-se ao $n, \bar{\nu}_e, p, e$, respectivamente;

Emissividade de neutrinos

Processo Urca Direto

As funções de onda nêutron e antineutrino são funções de onda plana. A função de onda do próton é

$$\psi_3(X) = \left(\frac{1}{\sqrt{L_y L_z}} \right) \exp(-iE_3^* t + ik_{3y} y + ik_{3z} z) f_{k_{3y}, k_{3z}}^{v_3=0},$$

O único spinor de energia positiva para prótons na representação quiral é

$$f_{p_{3y}; p_{3z}}^{v=0}(x) = N_{v=0} \begin{pmatrix} E_3^* + p_{3z} \\ 0 \\ -m^* \\ 0 \end{pmatrix} l_{v=0; p_{3y}}(x),$$

onde

$$N_{v_3=0} = 1/\sqrt{2E_3^*(E_3^* + k_{3z})},$$
$$l_{v_3=0; k_{3y}} = \left(\frac{eB}{\pi}\right)^{1/4} \exp\left[-\frac{1}{2}eB\left(x - \frac{k_y}{eB}\right)^2\right] \frac{1}{\sqrt{n!}} H_n[\sqrt{2eB}\left(x - \frac{k_y}{eB}\right)].$$

Emissividade de neutrinos

Processo Urca Direto

A emissividade devido ao processo de emissão de antineutrinos na presença de um campo magnético uniforme B_m ao longo do eixo z é

$$\begin{aligned}\varepsilon_\nu &= 2 \int \frac{V d^3 k_1}{(2\pi)^3} \int \frac{V d^3 k_2}{(2\pi)^3} \int_{-qBL_x/2}^{qBL_x/2} \frac{L_y dk_{3y}}{2\pi} \\ &\times \int \frac{L_z dk_{3z}}{2\pi} \int_{-qBL_x/2}^{qBL_x/2} \frac{L_y dk_{4y}}{2\pi} \\ &\times \int \frac{L_z dk_{4z}}{2\pi} E_2 W_{fi} f_1 [1 - f_3] [1 - f_4],\end{aligned}$$

onde o prefator 2 leva em conta a degenerescência do spin do nêutron e os f_i 's são as funções distribuição de Fermi-Dirac.

Emissividade de neutrinos

Processo Urca Direto

Pela Regra de Ouro de Fermi, a taxa de transição por unidade de volume é

$$W_{fi} = \frac{\langle |M_{fi}|^2 \rangle}{tV},$$

onde t é o tempo e $V = V_x V_y V_z$ é o volume normalizado.

O elemento de matriz M_{fi} para a interação V-A é

$$M_{fi} = \frac{G_F}{\sqrt{2}} \int d^4X \bar{\psi}_1(X) \gamma^\mu (g_V - g_A \gamma_5) \psi_3(X) \bar{\psi}_2(X) \gamma_5 (1 - \gamma_5) \psi_4(X),$$

onde $\langle . \rangle$ é a média sobre o spin inicial do n e uma soma sobre os spins das partículas finais (p, e).

Emissividade de neutrinos

Processo Urca Direto

A taxa de transição por unidade de volume é

$$\begin{aligned} W_{fi} = & \frac{G_F^2}{E_1^* E_2 E_3^* E_4} \frac{1}{V^3 L_y L_z} \\ & \times \exp\left(-\frac{(k_{1x} - k_{2x})^2 + (k_{3y} + k_{4y})^2}{2qB}\right) \\ & \times [(g_V + g_A)^2 (k_1 \cdot k_2)(k_3 \cdot k_4) + (g_V - g_A)^2 \\ & \times (k_1 \cdot k_4)(k_3 \cdot k_2) - (g_V^2 - g_A^2) m^{*2} (k_4 \cdot k_2)] \\ & \times (2\pi)^3 \delta(E_1^* - E_2 - E_3^* - E_4) \\ & \times \delta(k_{1y} - k_{2y} - k_{3y} - k_{4y}) \delta(k_{1z} - k_{2z} - k_{3z} - k_{4z}). \end{aligned}$$

Emissividade de neutrinos

Processo Urca Direto

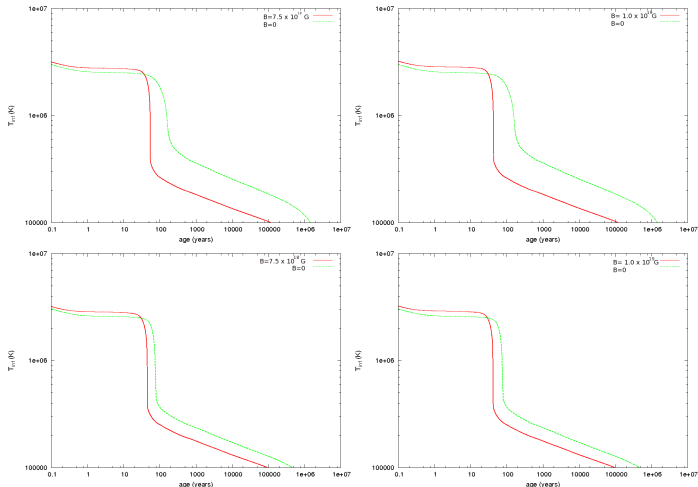
Então, a emissividade é

$$\begin{aligned}\varepsilon_{\text{Urca}} = & \frac{457\pi}{5040} G_F^2 \cos^2 \theta_c (qB) [(g_V + g_A)^2 \\ & \times (1 - \frac{k_{F_3}}{\mu_3^*}) + (g_V - g_A)^2 (1 - \frac{k_{F_1}}{\mu_n^*} \cos \theta_{14}) \\ & - (g_V^2 - g_A^2) \frac{m^{*2}}{\mu_3^* \mu_1^*}] \\ & \times \exp \left[\frac{(k_{F_3} + k_{F_4})^2 - k_{F_1}^2}{2qB} \right] \frac{\mu_1^* \mu_3^* \mu_4}{k_{F_3} k_{F_4}} T^6 \Theta,\end{aligned}$$

onde $\cos \theta_{14} = (k_{F_1}^2 + k_{F_4}^2 - k_{F_3}^2) / 2k_{F_1} k_{F_4}$, T é a temperatura, $\Theta = \theta(k_{F_3} + k_{F_4} - k_{F_1})$, com $\theta(x) = 1$ para $x > 0$ e zero caso contrário

Resultados

Resfriamento de estrela de nêutrons por emissão de neutrinos



- Resfriamento por emissão de neutrinos com $B = 7,8 \times 10^{18}$ G (Figuras da esquerda) e $B = 1 \times 10^{19}$ G (figuras da direita), comparados ao caso de $B = 0$, para estrelas de massa $M = 1.4M_{\odot}$ (figuras no topo) e $M = 1.6M_{\odot}$ (figuras abaixo).

Obrigado!!

- Referências

- Bandyopadhyay, D., Chakrabarty, S., Dey, P. & Pal, S.: 1998, PhRvD, 58, 121301
- Chakrabarty et al., **78**, 2898 (1997)
- Chiapparini et al., Nucl. Phys. A **826**, 178 (2009)
- Glendennig, Compact Star, Springer, New York, 1997

- Agradecimentos

